

УДК 535.37 : 548.0

© 1991

**К ТЕОРИИ РАСПРОСТРАНЕНИЯ
ТЕРАГЕРЦЕВЫХ ФОНОНОВ
В КРИСТАЛЛЕ $\text{CaF}_2 : \text{Eu}^{2+}$**

К. Л. Аминов

Рассматривается распространение фононов в резонансной среде с учетом ангармонического распада и упругого рассеяния на дефектах.

В настоящей работе исследуется распространение неравновесных фононов (НФ) в диэлектрическом кристалле, содержащем резонансные центры рассеяния. На основе кинетических уравнений, учитывающих резонансное рассеяние, ангармонический распад фононов и упругое рассеяние на дефектах, получено уравнение переноса простого вида. Проанализированы различные режимы распространения НФ, возникающие при соответствующих условиях. Особое внимание уделяется режиму нелокального распространения, обусловленному анизотропией резонансного рассеяния [1]. Получены асимптотические выражения для коэффициента переноса при различной симметрии резонансных центров. На основе развитой теории проводится интерпретация экспериментальных данных по распространению НФ в $\text{CaF}_2 : \text{Eu}^{2+}$ [2].

1. Уравнение переноса

Рассмотрим кристалл, содержащий примесные двухуровневые центры. Считаем, что рассеяние фононов на таких центрах является анизотропным. Такие центры могут быть получены в результате оптического возбуждения, поэтому введем τ_i — время излучательного распада центров. Также считаем, что концентрация центров достаточно мала, чтобы не учитывать эффекты когерентного рассеяния и взаимодействия центров между собой. Будем рассматривать достаточно низкие температуры, при которых большинство центров находится в основном состоянии. Это также упрощает рассмотрение ангармонических процессов, так как для фононов с частотой $\nu \gg T$ основным процессом является распад на низкочастотные фононы. Процесс ангармонического распада будем считать изотропным и введем время жизни фона на частоты ν относительно ангармонического распада $\tau_{\alpha}(\nu)$. Также будем считать изотропным процесс упругого рассеяния на дефектах и введем $\tau_d(\nu)$ — время жизни фононов относительно упругого рассеяния. Для описания неравновесной фононной подсистемы введем функцию $n_{qj}(r, t)$ — концентрация фононов моды qj в точке r в момент времени t . Для описания неравновесной подсистемы центров, как было показано в [3, 4], необходимо ввести спектральную плотность концентрации возбужденных центров $N(\nu, r, t)$. При этом $N(r, t) = \int d\nu N(\nu, r, t)$ — концентрация возбужденных центров в точке r в момент времени t . Считая отклонения от равновесия малыми, запишем линеаризованные кинетические уравнения в виде

$$\frac{\partial}{\partial t} N(\nu, \mathbf{r}, t) + \left(\frac{1}{\tau} + \frac{1}{\tau_l} \right) N(\nu, \mathbf{r}, t) = \sum_j \int \frac{d^3 q}{(2\pi)^3} \delta(\nu - \nu_{qj}) \frac{n_{qj}(\mathbf{r}, t)}{\tau_R(qj)}, \quad (1)$$

$$\left(\frac{\partial}{\partial t} + \mathbf{v}_{qj} \nabla \right) n_{qj}(\mathbf{r}, t) = -\frac{1}{\tau_R(qj)} \left(n_{qj}(\mathbf{r}, t) - \frac{\tau_R(\nu_{qj}) N(\nu_{qj}, \mathbf{r}, t)}{\tau_l \rho_0} \right) - \frac{1}{\tau_d(\nu_{qj})} (n_{qj}(\mathbf{r}, t) - n(\nu_{qj}, \mathbf{r}, t)) - \frac{1}{\tau_a(\nu_{qj})} n_{qj}(\mathbf{r}, t). \quad (2)$$

Здесь τ — время релаксации центра в решетку; $\tau_R(qj)$ — время жизни фонона моды qj относительно резонансного рассеяния; \mathbf{v}_{qj} — групповая скорость фонона qj ; $\tau_R(\nu)^{-1} = \langle \tau_R(qj)^{-1} \rangle$; $n(\nu, \mathbf{r}, t) = \langle n_{qj}(\mathbf{r}, t) \rangle_\nu$, где

$$\langle f \rangle_\nu = \frac{1}{\rho_0} \sum_j \int \frac{d^3 q}{(2\pi)^3} f \delta(\nu - \nu_{qj}), \quad \rho_0 = \sum_j \int \frac{d^3 q}{(2\pi)^3} \delta(\nu - \nu_{qj}).$$

Полная спектральная плотность возбуждений, определяемая как $J(\nu, \mathbf{r}, t) = n(\nu, \mathbf{r}, t) + N(\nu, \mathbf{r}, t)/\rho_0$, удовлетворяет уравнению непрерывности

$$\frac{\partial}{\partial t} J(\nu, \mathbf{r}, t) + \operatorname{div} \mathbf{Q}(\nu, \mathbf{r}, t) = -\frac{1}{\tau_a(\nu)} n(\nu, \mathbf{r}, t) - \frac{1}{\tau_l \rho_0} N(\nu, \mathbf{r}, t), \quad (3)$$

где $\mathbf{Q}(\nu, \mathbf{r}, t) = \langle \mathbf{v}_{qj} n_{qj}(\mathbf{r}, t) \rangle_\nu$.

Используя пространственное преобразование Фурье

$$f(\mathbf{k}) = \int d^3 r f(\mathbf{r}) \exp(-i\mathbf{k}\mathbf{r}), \text{ преобразуем уравнения (1)–(3) к виду}$$

$$\frac{\partial}{\partial t} P(\nu, \mathbf{k}, t) + \left(\frac{1}{\tau} + \frac{1}{\tau_l} \right) P(\nu, \mathbf{k}, t) = \left\langle \frac{n_{qj}(\mathbf{k}, t)}{\tau_R(qj)} \right\rangle_\nu, \quad (1a)$$

$$\begin{aligned} \left(\frac{\partial}{\partial t} + i\mathbf{k}\mathbf{v}_{qj} \right) n_{qj}(\mathbf{k}, t) &= -\frac{1}{\tau_R(qj)} \left(n_{qj}(\mathbf{k}, t) - \frac{\tau_R(\nu_{qj})}{\tau} P(\nu_{qj}, \mathbf{k}, t) \right) - \\ &- \frac{1}{\tau_d(\nu_{qj})} (n_{qj}(\mathbf{k}, t) - n(\nu_{qj}, \mathbf{k}, t)) - \frac{1}{\tau_a(\nu_{qj})} n_{qj}(\mathbf{k}, t), \end{aligned} \quad (2a)$$

$$\frac{\partial}{\partial t} J(\nu, \mathbf{k}, t) + i\mathbf{k}\mathbf{Q}(\nu, \mathbf{k}, t) = -\frac{1}{\tau_a(\nu)} n(\nu, \mathbf{k}, t) - \frac{1}{\tau_l} P(\nu, \mathbf{k}, t). \quad (3a)$$

Здесь $P(\nu, \mathbf{k}, t) = N(\nu, \mathbf{k}, t)/\rho_0$. Отметим, что уравнения с различными \mathbf{k} являются независимыми.

Рассмотрим условия, при которых может установиться квазиравновесное состояние в системе фононов и центров. Из (1a) следует, что при $t \gg (\tau^{-1} + \tau_l^{-1})^{-1}$

$$P(\nu, \mathbf{k}, t) \simeq (\tau^{-1} + \tau_l^{-1})^{-1} \left\langle \frac{n_{qj}(\mathbf{k}, t)}{\tau_R(qj)} \right\rangle_\nu. \quad (4)$$

С другой стороны, из (2a) следует, что при $t \gg \tau_{qj}$, где $\tau_{qj} = (\tau_R(qj)^{-1} + \tau_d(\nu_{qj})^{-1} + \tau_a(\nu_{qj})^{-1})^{-1}$,

$$n_{qj}(\mathbf{k}, t) \simeq (i\mathbf{k}\mathbf{v}_{qj} + \tau_{qj}^{-1})^{-1} \left(\frac{\tau_R(\nu_{qj})}{\tau \tau_R(qj)} P(\nu_{qj}, \mathbf{k}, t) + \frac{n(\nu_{qj}, \mathbf{k}, t)}{\tau_d(\nu_{qj})} \right). \quad (5)$$

Соответственно

$$n(\nu, \mathbf{k}, t) \simeq (1 - \tau_d(\nu)^{-1} \langle (i\mathbf{k}\mathbf{v}_{qj} + \tau_{qj}^{-1})^{-1} \rangle_\nu)^{-1} \frac{\tau_R(\nu) \tau_R(qj)^{-1}}{\tau (i\mathbf{k}\mathbf{v}_{qj} + \tau_{qj}^{-1})} P(\nu, \mathbf{k}, t). \quad (6)$$

Если размер пространственных неоднородностей $L \gg \mathbf{v}_{qj} \tau_{qj}$, что соответствует диффузионному режиму распространения фононов, $k \sim 1/L$, то можно пренебречь $\mathbf{k}\mathbf{v}_{qj}$ по сравнению с τ_{qj}^{-1} . При этом

$$\left\langle \frac{\tau_R(\mathbf{q}j)^{-1}}{ikv_{qj} + \tau_{qj}^{-1}} \right\rangle, \simeq 1 - (\tau_d(v)^{-1} + \tau_a(v)^{-1}) \tau_{ph}(v),$$

где

$$\tau_{ph}(v) = \langle \tau_{qj} \rangle_v, \quad \langle (ikv_{qj} + \tau_{qj}^{-1})^{-1} \rangle_v \simeq \tau_{ph}(v).$$

Выразив, таким образом, $n(v)$ через $P(v)$, используя (5), из (4) получим

$$P(v, k, t) \left[\tau_R(v)^{-1} \left(1 + \frac{\tau}{\tau_i} \right) + \left(1 - \frac{\tau_d(v)}{\tau_{ph}(v)} \right)^{-1} \{ 1 - (\tau_d(v)^{-1} + \tau_a(v)^{-1}) \tau_{ph}(v) \} - \left\langle \frac{\tau_{qj}}{\tau_R(qj)^2} \right\rangle \right] \simeq 0. \quad (7)$$

Равенство (7) выполняется либо при $P(v, k, t) = 0$, либо при равенстве нулю содержимого квадратных скобок. Если (7) выполняется при $P(v, k, t) \neq 0$, это означает, что устанавливается квазиравновесное состояние, которое описывается одним параметром $P(v, k, t)$. Таким образом, из (7) можно получить условия установления квазиравновесия: во-первых, $\tau_i \gg \tau$; во-вторых, должно выполняться условие $\tau_R(v) \sim \tau_{ph}(v)$ либо условие $\tau_a(v) \gg \tau_d(v)$.

Первое условие означает, что центры должны приходить в равновесие с фононами раньше, чем происходит излучательный распад центров. Второе условие фактически означает, что равновесие в фононной подсистеме должно устанавливаться раньше, чем происходит ангармонический распад фононов.

Полагая, что в системе устанавливается квазиравновесие, получим уравнение переноса. Выражая с помощью (5), (6) n_{qj} и $P(v)$ через $n(v)$, можно выразить через $n(v)$ спектральную плотность возбуждений $J(v)$, а также поток возбуждений $Q(v)$. Тогда из (3а) получим уравнение переноса в виде

$$\partial/\partial t n(v, k, t) + G(k, v) n(v, k, t) = (-1/\tau^*(v)) n(v, k, t), \quad (8)$$

где

$$\tau^*(v) = \left(1 + \frac{\tau}{\tau_R(v)} \right) \left(\tau_a(v)^{-1} + \tau_i^{-1} \frac{\tau}{\tau_R(v)} \right)^{-1}, \quad (9)$$

$$G(k, v) = \left(1 + \frac{\tau}{\tau_R(v)} \right)^{-1} \left\langle \frac{(kv_{qj})^2 \tau_{qj}^{-1}}{(kv_{qj})^2 + \tau_{qj}^2} \right\rangle. \quad (10)$$

Так как $G(k, v) \rightarrow 0$ при $k \rightarrow 0$, соответствующий член в (8) описывает пространственный перенос возбуждений. Правая часть (8) описывает уменьшение числа возбуждений во всем объеме за счет ангармонического распада фононов и излучательного распада центров.

2. Различные режимы распространения фононов

а) А н г а р м о н и ч е с к и й распад. В пространственно-однородном случае имеем $k=0$. Уравнение (8) принимает вид

$$(\partial/\partial t) n(v, t) + (1/\tau^*(v)) n(v, t) = 0. \quad (11)$$

В случае $\tau \ll \tau_R(v)$ $\tau^*(v) \simeq \tau_a(v)$, что позволяет непосредственно наблюдать ангармонический распад фононов.

б) Д и ф фуз ион н о е распро странение фононов (изотропное рассеяние). В случае, когда длина свободного пробега фононов λ_{qj} мала в масштабе пространственных неоднородностей возбуждения L и не зависит от направления \mathbf{q} , (8) переходит в диффузионное уравнение

$$(\partial/\partial t) n(v, k, t) + D(v) k^2 n(v, k, t) = (-1/\tau^*(v)) n(v, k, t), \quad (12)$$

где

$$D(v) = (1/3)(1 + \tau/\tau_R(v))^{-1} v^2 \tau_{ph}(v), \quad (13)$$

v — средняя скорость фононов. Из (13) видно, что за счет пленения фононов центрами коэффициент диффузии уменьшается. Формулы (12), (13) дополняют результат, полученный в [3, 4], учитывая рассеяние на дефектах и ангармонический распад.

в) Распространение фононов в анизотропной среде. В анизотропных кристаллах τ_{qj} является функцией направления волнового вектора q фонона, определяемой симметрией уровней центров резонансного рассеяния. При некоторых направлениях q τ_{qj}^{-1} может обратиться в нуль (если пренебречь τ_{qj}^{-1} и τ_{qj}^{-1}). В некоторых случаях это может привести к расходимости τ_{ph} . Как показано в [1, 5], это соответствует нелокальности процесса распространения фононов, поскольку перенос возбуждения происходит за счет фононов с большой длиной свободного пробега, распространяющихся вдоль «выгодных» направлений. Для того чтобы этот механизм распространения проявился, должно быть исключено влияние изотропных механизмов рассеяния. Из (10) видно, что основной вклад в $G(k, v)$ дают фононы с $\tau_{qj}^{-1} \sim kv_{qj}$. Следовательно, данный механизм проявляется на расстояниях $L \ll \lambda_d$, где λ_d — длина свободного пробега фононов относительно изотропного рассеяния на дефектах.

Нами были проведены модельные расчеты асимптотических выражений для $G(k, v)$ при $k \rightarrow 0$ для центров различной симметрии.

Пусть взаимодействие центра с решеткой описывается гамильтонианом

$$\mathcal{H}_{\text{реш}} = \sum_{\lambda\Gamma} V_{\lambda}(\Gamma) e_{\lambda}(\Gamma), \quad (14)$$

где $V_{\lambda}(\Gamma)$ — операторы, определенные в пространстве состояний центра; $e_{\lambda}(\Gamma) = \sum_{\alpha\beta} c(\lambda\Gamma | \alpha\beta) e_{\alpha\beta}$ — линейные комбинации компонент тензора динамической деформации $e_{\alpha\beta}$, преобразующиеся по строке λ неприводимого представления Γ точечной группы симметрии центра. Для фононов моды qj

$$\tau_{qj}^{-1} = \frac{\pi v_{qj}}{\rho \hbar v_{qj}^2} n_{\text{ex}} g(v_{qj}) \left| \sum_{\alpha\beta} V_{\alpha\beta} (q_{\alpha} e_{\beta}(\hat{q}j) + q_{\beta} e_{\alpha}(\hat{q}j))/2q \right|^2. \quad (15)$$

Здесь ρ — плотность кристалла; n_{ex} — объемная концентрация центров; $g(v)$ — форма линии, нормированная соотношением $\int g(v) dv = 1$; $e_{\alpha}(\hat{q}j)$ — компоненты вектора поляризации моды qj ; $V_{\alpha\beta} = \sum_{\lambda\Gamma} c(\lambda\Gamma | \alpha\beta) \langle 1 | V_{\lambda}(\Gamma) | 2 \rangle$.

Решетку будем рассматривать в модели изотропного упругого континуума. В этой модели решеточные колебания имеют одну продольную и две поперечные ветви. Соответственно $v_{q1} = v_{q}/2\pi$, $v_{q2} = v_{q3} = v_{q}/2\pi$.

Направление поляризации продольной моды совпадает с направлением волнового вектора. Поляризация поперечных мод может быть выбрана произвольно из-за вырождения. Выберем ее так, что $q = q$ ($\sin \theta, \cos \varphi, \sin \theta, \sin \varphi, \cos \theta$), $e(\hat{q}1) = (\sin \theta \cos \varphi, \sin \theta \sin \varphi, \cos \theta)$, $e(\hat{q}2) = (\cos \theta \cos \varphi, \cos \theta \sin \varphi, -\sin \theta)$, $e(\hat{q}3) = (-\sin \theta, \cos \varphi, 0)$ в системе координат, где ось z совпадает с одной из осей симметрии кристалла.

Для случая, когда $\langle 1 | \mathcal{H}_{\text{реш}} | 2 \rangle = \mathbf{V} (e_{xz} + ie_{yz})$, получим

$$\tau_R(v)^{-1} = \frac{3 + 2\gamma^5}{2 + \gamma^3} \frac{\pi v}{15\rho \hbar v_{qj}^2} n_{\text{ex}} g(v) |V|^2, \quad (16)$$

$$G(k, v) \simeq (\tau + \tau_R(v))^{-1} (kv_t \tau_R(v))^{3/2} \{ \gamma^{1/2} B_1(\theta_k) + B_{t_1}(\theta_k) + B_{t_2}(\theta_k) \}, \quad (17)$$

$$B_{\alpha}(\theta) = \beta_{\alpha}(0) (3 + 2\gamma^5)^{1/2} / 4\sqrt{15} (2 + \gamma^3)^{1/2}, \quad \gamma = v_t/v_i,$$

$$\beta_t(\theta) = [\Gamma(1/4)]^2 |\sin \theta|^{1/2} / 3\sqrt{\pi}, \quad \beta_{t_1}(\theta) = 2\beta_t(\theta),$$

$$\beta_{t_2}(\theta) = \sqrt{2} \int_0^{2\pi} d\varphi |\cos \theta + \sin \theta \cos \varphi|^{3/2}.$$

Здесь θ_k , Φ_k — сферические координаты вектора k .

Приведем еще в качестве примера результат вычислений для случая, когда $\langle 1 | \mathcal{H}_{\text{e-ph}} | 2 \rangle = V (e_{xx} - e_{yy})$. В этом случае

$$\tau_R(v)^{-1} = \frac{3+2\gamma^5}{2+\gamma^3} \frac{2\pi v}{15\rho\hbar v_f^2} g(v) n_{\text{ex}} |V|^2, \quad (18)$$

$$G(k, v) \simeq (\tau + \tau_R(v))^{-1} B(\theta_k, \varphi_k) (kv_i \tau_R(v))^{3/2} \ln (kv_i \tau_R(v))^{-1}, \quad (19)$$

где

$$B(\theta, \varphi) = \frac{3+2\gamma^5}{4\sqrt{15}(2+\gamma^3)^{3/2}} \left\{ \sqrt{\gamma} |\cos \theta|^{3/2} + |\sin \theta|^{3/2} \times \right. \\ \left. \times [|\cos(\varphi - \pi/4)|^{3/2} + |\cos(\varphi + \pi/4)|^{3/2}] \right\}.$$

3. Расчет для реальных систем. $\text{CaF}_2 : \text{Eu}^{2+}$.

Используем изложенную теорию для интерпретации экспериментальных данных по флуоресцентному детектированию неравновесных фононов в $\text{CaF}_2 : \text{Eu}^{2+}$ [2, 6]. Схема эксперимента приведена на рис. 1. Монокристалл $\text{CaF}_2 : \text{Eu}^{2+}$ в форме параллелепипеда подвергался при $T=1.5$ К упругому одноосному сжатию вдоль оси [001]. Деформация вызывает расщепление нижнего уровня Γ_8^+ возбужденной $4f^65d$ -конфигурации Eu^{2+} [7]. Через боковую грань образец возбуждается лучом импульсного азотного лазера. При этом можно изменять диаметр сфокусированного луча. В процессе безызлучательной релаксации из верхних состояний происходит заселение деформационных подуровней W_1 и W_2 . Поскольку вероятность перехода $W_1 \rightarrow W_2$ с испусканием резонансных акустических фононов значительно больше вероятности излучательного $d \rightarrow f$ -перехода ($\tau_i \approx 0.6$ мкс [8]), в оптически возбужденном объеме происходит инъекция неравновесных фононов, резонансно взаимодействующих с двухуровневой системой W_1, W_2 . Измеряя временной ход импульсов флуоресценции с уровнями W_1, W_2 , можно исследовать кинетику ухода фононов из возбужденного объема. При этом изменением величины деформации можно варьировать частоту перехода $W_1 \rightarrow W_2$. В [2, 6] были получены зависимости времени жизни неравновесных фононов от величины расщепления.

Будем считать, что неоднородность деформаций при сжатии, а также изотропное упругое рассеяние на дефектах не дают проявиться описанному выше механизму нелокального распространения фононов и фононы распространяются диффузионным образом. Тогда время жизни τ_n неравновесных фононов в возбужденном объеме с характерным размером L определяется соотношением

$$\tau_n = (\tau^*(\Delta)^{-1} + D(\Delta)/L^2)^{-1}, \quad (20)$$

где Δ — величина расщепления дублета, τ^* определяется соотношением (9),

$$D(\Delta) = v^2/3 (\tau_R(\Delta)^{-1} + \tau_d(\Delta)^{-1}) (1 + \tau/\tau_R(\Delta)), \quad (21)$$

v — средняя скорость звука, определяемая в модели изотропного кристалла соотношением $v^2 = v_t^2(2+\gamma)/(2+\gamma^2)$.

Ангармоническое затухание и рассеяние на дефектах представим в виде $\tau_a(\Delta)^{-1} = a\Delta^5$, $\tau_d(\Delta)^{-1} = d\Delta^4$. Из (15) видно, что для резонансного рассеяния $\tau_R(\Delta)^{-1} \propto a \Delta g(\Delta) n_{ex} b^2$, где b — эффективная константа электрон-фононного взаимодействия для переходов внутри дублета Γ_8^+ . Будем считать, что $\Delta g(\Delta) = \text{const}$.

Концентрацию возбужденных центров можно определить из соотношения

$$n_{ex} \simeq P \tau_{imp} \lambda k_n / \pi \hbar c L^2, \quad (22)$$

где P — импульсная мощность лазера, τ_{imp} — длительность импульса, λ — длина волн излучаемого лазером света, k_n — коэффициент поглощения света в кристалле, L — диаметр луча лазера, c — скорость света. При $P=1$ кВт, $\tau_{imp} \simeq 10$ нс, $\lambda=3370$ Å [5], взяв $k \sim 10$ см $^{-1}$, при $L \simeq 0.3$ мм получим $n_{ex} \sim 10^{17}$ см $^{-3}$. Следовательно, $\tau_R(\Delta)^{-1} = R b^2 / L^2$. Рассмотрим взаимодействие

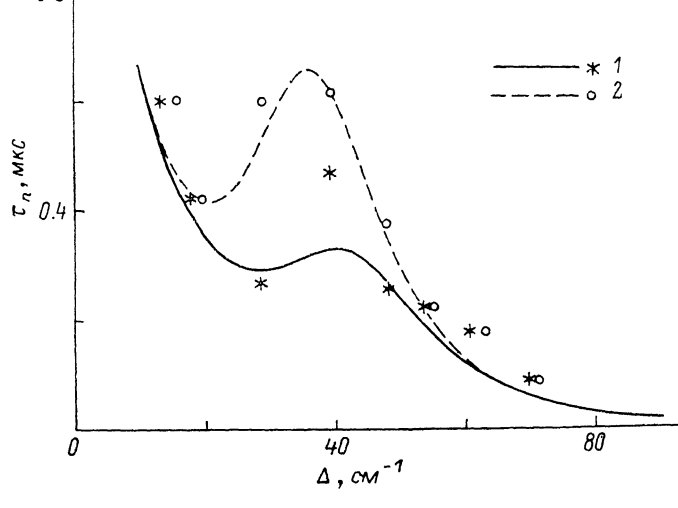


Рис. 2. Зависимость времени жизни фононов в возбужденном объеме от величины расщепления дублета.

имодействие ионов Eu $^{2+}$ с решеткой, используя результаты работы [7]. Для компонент дублета W_1 и W_2 имеем $\langle W_1 | \mathcal{H}_{e-ph} | W_2 \rangle = -\sqrt{3} b (e_{xx} - e_{yy})$. Однако, кроме дублета Γ_8^+ , необходимо также учитывать уровень Γ_6^+ , расположенный на 15.3 см $^{-1}$ выше дублета. При деформации происходит перемешивание волновых функций Γ_6^+ и Γ_8^+ . Это приводит к существенному уменьшению эффективной константы b , которую поэтому также необходимо рассматривать как функцию Δ . Например, при $\Delta=0$ $b=3.5$ см $^{-1}$, а при $\Delta=20$ см $^{-1}$ $b=1.2$ см $^{-1}$.

Время спин-решеточной релаксации в модели изотропного кристалла

$$\tau^{-1} = (\Delta^3 b^2 / 5\pi\rho\hbar^3) (6v_t^{-5} + 4v_t^{-6}). \quad (23)$$

На рис. 2 приведены зависимости τ_n от Δ при $L=0.3$ (1) и 0.6 мм (2) и экспериментальные точки из работы [2]. Кривые получены при значениях параметров: $\rho=3.5$ г/см 3 , $v_t=7 \cdot 10^5$, $v_t=3.5 \cdot 10^5$ см/с, $\tau l=0.6$ мкс, $a=8 \cdot 10^{-3}$ с $^{-1}$ (см $^{-1}$) $^{-5}$, $d=6.3$ с $^{-1}$ (см $^{-1}$) $^{-4}$, $R=6.4 \cdot 10^{-3}$ с $^{-1}$ (см) 2 (см $^{-1}$) $^{-2}$. На участке $\Delta < 20$ см $^{-1}$ τ_n определяется резонансным пленением фононов. Зависимость от L отсутствует, поскольку возрастание времени выхода возбуждений из возбужденного объема за счет увеличения объема компенсируется уменьшением времени выхода за счет увеличения коэффициента диффузии, связанного с уменьшением концентрации резонансных центров

при одинаковой мощности накачки. При $20 < \Delta < 40$ см $^{-1}$ возрастает упругое рассеяние на дефектах, и именно оно определяет теперь время ухода фононов из возбужденного объема. Появляется характерная диффузионная зависимость τ_n от L . При $\Delta > 40$ см $^{-1}$ упругое рассеяние столь велико, что фононы не выходят из возбужденного объема и их время жизни определяется ангармоническим распадом.

Сравним значения параметров приведенных кривых с имеющимися данными. Результаты теоретического расчета ангармонического затухания фононов в CaF₂ можно найти в работах [9, 10]. Из [9] имеем $a \approx 2 \times 10^{-3}$ см $^{-1}$ (см $^{-1}$) $^{-5}$, что хорошо согласуется с нашим значением. Постоянная упругого рассеяния может быть определена по данным эксперимента [11] по измерению рассеяния фононов в CaF₂: 0.001 % Eu²⁺. По этим данным $d \approx 12$ см $^{-1}$ (см $^{-1}$) $^{-4}$. Наш параметр находится в разумном согласии с этим значением. Среднее время резонансного рассеяния (18) дает $R \sim 1$ см $^{-1}$ (см 2 (см $^{-1}$)) $^{-2}$, если считать, что при $\Delta = 60$ см $^{-1}$ неоднородное уширение составляет порядка 1 см $^{-1}$. Такое расхождение с параметром, использованным для построения кривой, легко объяснить, во-первых, сильной анизотропией, за счет которой основной уход возбуждений определяется фононами, слабо рассеивающимися на центрах, или, с формальной точки зрения, $\langle \tau_{qj} \rangle^{-1} \neq \langle \tau_{qj}^{-1} \rangle$. Во-вторых, концентрация резонансных центров падает за счет люминесценции за время, сравнимое с временем жизни фононов.

Более детальное экспериментальное исследование времени жизни фононов в области малых расщеплений $\Delta \sim 10$ см $^{-1}$, вероятно, было бы полезным, поскольку в этой области ангармонический распад и рассеяние на дефектах становятся неэффективными и можно пытаться искать проявления анизотропного нелокального распространения фононов.

Список литературы

- [1] Аминов К. Л., Малкин Б. З. // Письма в ЖЭТФ. 1988. Т. 48. № 9. С. 508—510.
- [2] Акимов А. В., Каплийский А. А., Сыркин А. Л. /| Письма в ЖЭТФ. 1981. Т. 33. № 8. С. 410—413.
- [3] Левинсон И. Б. // ЖЭТФ. 1978. Т. 75. № 1. С. 234—248.
- [4] Малышев В. А., Шехтман В. Л. // ФТТ. 1978. Т. 20. № 10. С. 2915—2928.
- [5] Малышев В. А., Шехтман В. Л. // Опт. и спектр. 1979. Т. 46. № 4. С. 800—808.
- [6] Baumgartner R., Engelhardt M., Renk K. F. // Phys. Rev. Lett. 1981. V. 47. № 7. P. 1403—1406.
- [7] Каплийский А. А., Пржевуский А. К. // Опт. и спектр. 1965. Т. 19. № 2. С. 597—604.
- [8] Bron W. E., Grill W. // Phys. Rev. B. 1977. V. 16. N 12. P. 5303—5315.
- [9] Tamura S. // Phys. Rev. B. 1985. V. 31. N 9. P. 2574—2578.
- [10] Labrot M. T., Mayer A. P., Wehner R. K., Obermayer P. E. // J. Phys.: Condens. Matter. 1989. V. 1. N 45. P. 8809—8822.
- [11] Абрамов А. П., Абрамова И. Н., Герловин И. Я., Разумова И. К. // ФТТ. 1982. Т. 24. № 1. С. 67—71.

Казанский государственный университет
им. В. И. Ульянова-Ленина

Поступило в Редакцию
4 сентября 1990 г.